

Proposition du corrigé de l'épreuve de
Physique section MP



Premier Problème

1.a) $I = \iint \vec{J} \cdot d\vec{s} = \pi \iint \vec{E} \cdot d\vec{s} = \pi E_0 S = \pi E_0 \pi a^2$ 0,5

1.b) $\vec{E}_0 = -\nabla V \Rightarrow \int_A^B \vec{E} \cdot d\vec{z} = -\int_A^B dV \Rightarrow V_A - V_B = E_0 L$ 1,5

D'où $V_A - V_B = \frac{I}{\pi \pi a^2} L = \frac{L}{\pi \pi a^2} I = R_o I$ avec

$$R_o = \frac{L}{\pi \pi a^2}$$

2.a) $P_w = \vec{J} \cdot \vec{E} = \pi E_0^2$ 0,5

2.b) $P = \iint P_w d\tau = \pi E_0^2 \iint d\tau = \pi E_0^2 L \pi a^2$
 $= \frac{1}{\pi} \left(\frac{I}{\pi a^2} \right)^2 \cdot L \pi a^2 = \frac{L}{\pi a^2} I^2 = R_o I^2$ 0,5

B.1) Un courant variable ($\vec{j} = \sigma \vec{E} (+)$) crée un champ magnétique variable (M.A), qui lui crée un champ électrique non homogène (MF) venant à se superposer à celui du générateur. Le champ électrique dans le conducteur ne peut donc pas être uniforme en régime variable.

1

B.2.a) L'équation locale de la conservation de la charge s'écrit $\frac{\partial \rho}{\partial t} + \operatorname{div} \vec{j} = 0$ dans un conducteur ohmique $\vec{j} = \sigma \vec{E}$ et comme $\operatorname{div} \vec{E} = \frac{f}{\epsilon_0}$ (M.G) l'équat de conservation de la charge dans un conducteur ohmique s'écrit $\frac{\partial \rho}{\partial t} + \frac{\sigma}{\epsilon_0} f = 0$.

0,25

B.2.b) $\frac{\partial f}{\partial t} + \frac{f}{\tau} = 0$ avec $\tau = \frac{\epsilon_0}{\sigma}$ $f(M, t) = f_0 e^{-t/\tau}$

0,25

$\tau = \frac{\epsilon_0}{\sigma}$: temps de relaxation

0,25

A.N. $\tau = \frac{1}{\sigma} \times \frac{1}{\epsilon_0} \times 10^{-16} = 1,5 \times 10^{-19} \text{ s}$

0,25

$\frac{1}{\tau} \sim 10^{19} \text{ Hz}$ dans le domaine des frq Hertzien

le conducteur est localement neutre.

0,5

$$\text{B.2c)} \quad \vec{J} = \epsilon_0 \frac{\partial \vec{E}}{\partial t} \quad \vec{J}_c = \sigma \vec{E} \\ \frac{\|\vec{J}_D\|}{\|\vec{J}_c\|} \sim \frac{\epsilon_0 \omega}{\sigma} = \frac{2\pi \epsilon_0 f}{\sigma}, \quad \frac{\|\vec{J}_D\|}{\|\vec{J}_c\|} \ll 1 \Rightarrow \\ \text{A.N} \quad f_D = \frac{5,9 \cdot 10^7}{2 \cdot \pi \cdot 10^{-9}} \cdot 36 \cdot \pi$$

$$f_D = 18 \times 5,9 \times 10^{16} = 1,06 \cdot 10^{18} \text{ Hz}$$

0,5

Dans le domaine des fréquences Hertzienne cette condition est largement vérifiée où $\|\vec{J}_D\|$ est négligeable devant $\|\vec{J}\|$.

$$\text{B.3)} \quad \vec{j}(M, t) = j(r) e^{-i\omega t} \vec{u}_3$$

les équations de Maxwell s'écrivent: $\operatorname{div} \vec{E} = 0$ (MG)

$$\vec{\operatorname{rot}} \vec{E} = - \frac{\partial \vec{B}}{\partial t} \quad \vec{\operatorname{rot}} \vec{B} = \mu_0 \vec{j} \quad \operatorname{div} \vec{B} = 0 \text{ (MB)}$$

1

$$\vec{\operatorname{rot}}(\vec{\operatorname{rot}} \vec{E}) = \vec{\operatorname{grad}}(\operatorname{div} \vec{E}) - \vec{\Delta} \vec{E} = - \vec{\Delta} \vec{E} \\ = - \frac{\partial}{\partial t} \vec{\operatorname{rot}} \vec{B} = - \mu_0 \frac{\partial \vec{B}}{\partial t}; \quad \vec{E} = \frac{\vec{B}}{\sigma}$$

$$\Rightarrow \vec{\Delta} \vec{j} = \mu_0 \sigma \frac{\partial \vec{B}}{\partial t}$$

$$\vec{\Delta} \vec{j} = - \mu_0 i \omega \sigma \vec{j}$$

$$\text{D'où} \quad \vec{\Delta} \vec{j} + \frac{2i}{\sigma} \vec{j} = \vec{0} \quad \text{avec} \quad \sigma = \sqrt{\frac{2}{\mu_0 \omega}}$$

0,5

B.4)

$$\vec{\Delta} \vec{j} + \frac{2i}{\sigma} \vec{j} = \vec{0} \Rightarrow \vec{\Delta} \vec{j} + \frac{2i}{\sigma^2} \vec{j} = \vec{0} \quad (1) \\ \vec{j} = j(r) \vec{u}_3$$

$$\vec{\Delta} \vec{j} = \frac{d^2 \vec{j}}{dr^2} + \frac{1}{r} \frac{d \vec{j}}{dr}$$

$$(1) \quad \text{Alors} \quad \frac{d^2 \vec{j}}{dr^2} + \frac{1}{r} \frac{d \vec{j}}{dr} + \frac{2i}{\sigma^2} \vec{j} = 0$$

$$\frac{d \vec{j}}{dr} = \frac{d \vec{j}}{dx} \frac{dx}{dr} = \frac{1}{s} \frac{d \vec{j}}{dx}; \quad \frac{d^2 \vec{j}}{dr^2} = \frac{1}{s^2} \frac{d^2 \vec{j}}{dx^2}$$

D'où $\frac{d^2y}{dx^2} + \frac{1}{x} \frac{dy}{dx} + 2iy = 0$ en divisant par $y(0)$
on obtient :

$$\frac{d^2y}{dx^2} + \frac{1}{x} \frac{dy}{dx} + 2iy = 0$$

0,5

$$B.5) \sum_{n=0}^{\infty} 2n(2n-1) C_{2n} x^{2n-2} + \frac{1}{x} \sum_{n=1}^{\infty} 2n C_{2n} x^{2n-1}$$

$$= -2i \sum_{n=0}^{\infty} C_{2n} x^{2n} \\ \sum_{p=0}^{\infty} 4(p+1)^2 C_{2p+2} x^{2p} = -2i \sum_{p=0}^{\infty} C_{2p} x^{2p} + x.$$

D'où $2(p+1)^2 C_{2p+2} = -i C_{2p}$ avec $C_0 = 1$.

$$C_{2(p+1)} = \frac{-i}{2(p+1)^2} C_{2p} \Rightarrow C_{2p} = \frac{-i}{2p^2} C_{2p-2} \quad (p \geq 1)$$

$$C_{2p} = \frac{-i}{2p^2} \cdot \frac{(-i)}{2(p-1)^2} \cdot \frac{(-i)}{2 \cdot (p-2)^2} \cdots \frac{(-i)}{2 \cdot 1^2} C_0$$

$$\left\{ \begin{array}{l} C_{2p} = \frac{(-i)^p}{2^p (p!)^2} C_0 = \frac{(-i)^p}{2^p (p!)^2} ; \quad p \geq 1 \\ C_0 = 1. \end{array} \right.$$

Ainsi $y = \sum_{p=0}^{\infty} \frac{(-i)^p}{2^p (p!)^2} x^{2p}$

$$y(x) = 1 - \frac{i}{2} x^2 - \frac{x^4}{16}$$

1

0,25

$$\begin{aligned} |y(x)|^2 &= \left(1 - \frac{x^4}{16}\right)^2 + \frac{x^4}{4} \\ &= 1 + \frac{x^8}{(16)^2} - \frac{x^4}{16} \times 2 + \frac{x^4}{4} \quad \text{en s'arrêtant} \end{aligned}$$

à l'ordre 4 :

$$|y(x)|^2 = 1 + \frac{x^4}{8} \Rightarrow y(x) = \left(1 + \frac{x^4}{8}\right)^{1/2}$$

0,25

$$B.6) \quad \alpha_1 = 0,054$$

0,25

$$\alpha_2 = 10,8$$

0,25

$$\gamma(\alpha_1) = \left(1 + \frac{\alpha_1^4}{8}\right)^{1/2} \approx 1$$

0,25

$$\gamma(\alpha_2) = 4,985.$$

1

- Pour $v = v_1$, l'effet de peau ne se ressent pas puisque $|\underline{j}(\alpha_1)| \approx |\underline{j}(0)|$: la valeur du courant sur la périphérie est égale à celle sur l'axe du cylindre. En revanche pour $v = v_2$ l'effet de peau est considérable puisque le courant sur la périphérie est environ cinq fois la valeur sur l'axe.

- L'effet de peau reste négligeable tant que le rayon du fil reste inférieur à l'épaisseur de peau : En effet pour $\alpha_1 = \frac{a}{\delta_1} = 0,054 \ll 1$ on a $|\underline{j}(\alpha_1)| \approx |\underline{j}(0)|$ alors que pour $\alpha_2 = \frac{a}{\delta_2} = 10,8 \gg 1$ on a $|\underline{j}(\alpha_2)| \approx 5 |\underline{j}(0)|$.

B.7)

$$f(\alpha_1) = 1 + \frac{(0,054)^4}{48} \approx 1$$

0,25

$$f(\alpha_2) = 5,65.$$

- Dans le premier cas la résistance en régime variable est similaire à celle obtenue en régime continu. Cette augmentation nette de la résistance (pour $v = v_2$) s'explique par la localisation du courant dans le voisinage immédiat de la surface du conducteur (question B.6).

1

I.2.a) Le miroir de Lloyd est équivalent aux trous d'Young. S joue à la fois le rôle d'une source primaire et d'une source secondaire

$$SS' = 2h$$

La différence de marche géométrique des deux rayons se superposant en P est $\delta_{geo} = \frac{SS'x}{D}$ avec D = distance de l'écran au plan contenant les deux sources SS'.

$$D = l + d.$$

Le rayon réfléchi subit un déphasage de π par rapport à celui incident et donc à la différence de marche géométrique il faudrait rajouter $\frac{\lambda_0}{2}$ correspondant à ce déphasage supplémentaire de π ($\pi = \frac{2\pi}{\lambda_0} \cdot \frac{\lambda_0}{2}$)

$$\delta = \delta_{geo} + \frac{\lambda_0}{2} = \frac{2hx}{l+d} \frac{\lambda_0}{2} + \frac{\lambda_0}{2}.$$

Comme l'intensité de l'onde réfléchie est égale à celle incidente $I_1 = I_2 = I_0$ on obtient:

$$I(P) = 2I_0 \left(1 + \cos \left(\frac{2\pi}{\lambda_0} \left(\frac{2hx}{l+d} + \frac{\lambda_0}{2} \right) \right) \right)$$

I.2.b) La fringe rectiligne en $x=0$ est telle que $I=0 \Rightarrow$
Elle est sombre.

I.2.c) L'interfrange est la période spatiale de l'intensité $\frac{2\pi x}{i} = \frac{2\pi}{\lambda_0} \frac{2h}{l+d} x \Rightarrow$

$$i = \frac{\lambda_0(l+d)}{2h} = 0,25 \text{ mm}$$

1,5

0,5

0,5

2.d) La position de l'image O_{1im} de O est telle que

$$\frac{1}{O_1 O_{1im}} - \frac{1}{O_1 O} = \frac{1}{f'} \Rightarrow \frac{1}{O_1 O_{1im}} = \frac{f'}{f' + O_1 O}$$

AN $\frac{1}{O_1 O_{1im}} = \frac{-10 \times 12}{-12 + 10} = 60 \text{ cm.}$

0,5

$$\frac{O_1 O_{1im}}{O_1 O} = \frac{i_{1im}}{i} = \frac{60}{12} = 5$$

D'où $h = \frac{\lambda(l+d)}{2i_{1im}} \frac{O_1 O_{1im}}{O_1 O} \Rightarrow \text{AN } h = 0,3 \text{ mm}$

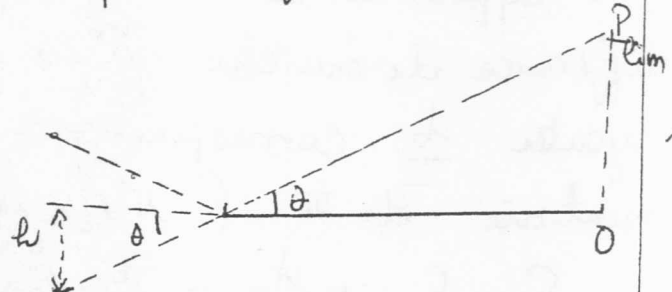
2.e) $* \tan \theta = \frac{h}{d} = \frac{OP_{1im}}{l} \Rightarrow OP_{1im} = l \frac{h}{d}$

OP_{1im} = largeur du champ d'interférence

Le nombre de franges

sombres est

$$N_s = E\left(\frac{OP_{1im}}{i}\right) + 1 \\ = E(28,8) + 1 \\ = 29.$$



1

II.1) La différence de marche reste inchangée \Rightarrow

la figure d'interférence reste donc inchangée.

0,5

II.2) Les sources S_1, S_2 et S sont incohérentes leurs intensités s'ajoutent. D'autre part on a :

$$I_1(L) = I_2(L) = I(L) \text{ Ainsi}$$

$$I_{\text{tot}} = 3(I(L)) \text{ où } I(L) \text{ représente}$$

l'intensité au point L résultant du phénomène d'interférence produit par S . Les franges sont trois fois plus brillante qu'avec S seule.

II.3) Chaque élément dx à centre sur x produit

$$dI = \frac{2I_0'}{a} \left(1 - \cos \frac{2\pi}{\lambda} \delta_{\text{geo}}(P) \right) dx$$

$$\delta_{\text{geo}}(P) = \frac{2(h+x)}{l+d} x$$

$$\text{D'où } dI(P) = \frac{2I_0'}{a} \left(1 - \cos \frac{2\pi}{\lambda_0} \left(\frac{2(h+x)x}{l+d} \right) \right) dx$$

où x désigne l'abscisse de S par rapport au centre de la fente.

On pose $\beta = h+x \Rightarrow d\beta = dx$.

D'où

$$I(P) = \frac{2I_0'}{a} \int_{h-a/2}^{h+a/2} \left(1 - \cos \frac{2\pi}{\lambda_0} \left(\frac{2\beta x}{l+d} \right) \right) d\beta$$

$dI(P)$ représente l'intensité produite en P par l'élément dx . Les différentes sources élémentaires constituant la fente sont incohérentes entre elles donc l'intensité résultante en P est la somme des intensités ce qui justifie la sommation précédente.

$$I(P) = 2I_0' \left(1 - \frac{2I_0'}{a} \frac{\lambda_0(l+d)}{4\pi} \left[\sin \frac{4\pi\beta}{\lambda_0(l+d)} x \right]_{h-a/2}^{h+a/2} \right)$$

$$= 2I_0' \left(1 - \frac{\lambda_0(l+d)}{2\pi a x} \sin \left[\frac{4\pi x}{\lambda_0(l+d)} (h+a/2) \right] \right)$$

$$+ \frac{\lambda_0(l+d)}{2\pi a x} \sin \left(\frac{4\pi x}{\lambda_0(l+d)} (h-a/2) \right)$$

$$I(P) = 2I_0' \left(1 - \operatorname{sinc} \left(\frac{2\pi a x}{\lambda_0(l+d)} \right) \cos \left(\frac{2\pi x}{\lambda_0} \right) \right)$$

$$I(l) = 2I_0 \left(1 - \text{sinc}\left(\frac{2\pi ax}{\lambda_0(l+d)}\right) \cos\left(\frac{2\pi x}{a}\right) \right)$$

$$a = \frac{\lambda_0(l+d)}{2h}$$

1,5

Allure + Comment 0,5

$$C = \left| \text{sinc}\left(\frac{2\pi ax}{\lambda_0(l+d)}\right) \right|$$

Les franges sont brouillées quand $C=0$

c'est à dire quand $\frac{2\pi}{\lambda_0(l+d)} \frac{ax}{l+d} = n\pi \quad n \in \mathbb{N}$.

$$\text{cad pour } x = \frac{\lambda_0(l+d)}{2\pi a} (n\pi)$$

Elles disparaissent pour la première fois

pour $x = \frac{\lambda_0(l+d)}{2\pi a}$ réapparaissent ensuite

mais faiblement contrastées disparaissent

de nouveau pour $x = \frac{\lambda_0(l+d)}{a}$, etc...

0,5

III.

III.1)

1) on a en $x=0$ $S = \frac{\lambda_0}{2} \Rightarrow$ noir: "frange noire"

pour x proche de zéro on a irrégularité des franges d'interférences. Plus loin il y a

brouillage de la figure d'interférence résultant

de la superposition des interférences produites par chaque radiation de longueur d'onde λ_i

c'est le blanc d'ordre supérieur.

0,5

III 2a) Il manque certaines longueurs d'onde dans le spectre analysé en $x \rightarrow$ Spectre cannelé.

0,5

II.2b) Une radiation de longueur d'onde λ_i éteinte correspond à des interférences destructives et donc $\tilde{a} \cdot S = \frac{2h x_0}{l+d} + \frac{\lambda_i}{2} = (2k+1) \frac{\lambda_i}{2}$; k entier
 $\Rightarrow \frac{h x_0}{l+d} = k \frac{\lambda_i}{2} \Rightarrow 0,4 \mu\text{m} < \lambda_i < 0,7 \mu\text{m}$

$$\Rightarrow \frac{\lambda}{\lambda_1} \leq \frac{2h x_0}{(l+d)k} \leq \frac{\lambda}{\lambda_2} \Rightarrow \frac{1}{\lambda_2} \leq \frac{(l+d)k}{2h x_0} \leq \frac{1}{\lambda_1}$$

$$\Rightarrow \frac{2h x_0}{\lambda_2(l+d)} \leq k \leq \frac{2h x_0}{\lambda_1(l+d)}$$
 pour $x_0 = 1,5 \text{ mm} \rightarrow 5/4 < k \leq 9$
 pour $x_0 = 3 \text{ mm} \rightarrow 10,28 \leq k \leq 18$

Pour $x_0 = 1,5 \text{ mm}$ on a 4 radiations éteintes

Pour $x_0 = 3 \text{ mm}$ on a 8 "

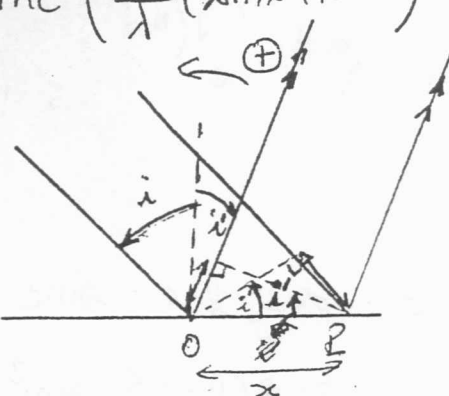
Plus x_0 est grand plus le nombre de cannelure augmente.

$$B-1) \quad \underline{A} = \alpha \underline{s}_0 l \int_{-\alpha/2}^{\alpha/2} e^{-\frac{2\pi x}{\lambda} j(\sin i' + \sin i)} dx$$

$$\underline{A} = \alpha \underline{s}_0 l a \operatorname{sinc}\left(\frac{\pi a}{\lambda} (\sin i' + \sin i)\right)$$

$$\left. \begin{array}{l} I = \underline{A} \underline{A}^* = \alpha |\underline{s}_0|^2 (la)^2 \operatorname{sinc}^2\left(\frac{\pi a}{\lambda} (\sin i' + \sin i)\right) \\ I_0 = \alpha |\underline{s}_0|^2 (la)^2. \end{array} \right\} 1,5$$

$$(\vec{k}_d - \vec{k}) \overrightarrow{OP} = -x (\sin i' + \sin i)$$



I.2) $i'_{\max} = -i \Rightarrow$ Direction donnée par l'optique géométrique (Loi de Descartes de la réflexion)

0,5
0,5

max secondaires tq $\frac{d}{\lambda} \operatorname{sinc}^2 n = 0 \Rightarrow n = \tan v$
 $\Rightarrow n \approx (2k+1) \frac{\pi}{2}$ avec $n \neq 0$ et $v \neq -1$

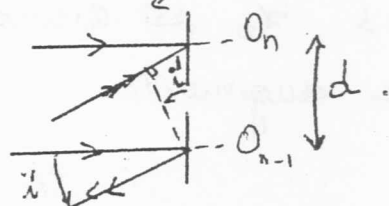
1^{er} max secondaire $n \approx \frac{3\pi}{2} \Rightarrow I = 0,045 I_0$

2^e max secondaire $n \approx \frac{5\pi}{2} \Rightarrow I = 0,016 I_0$.

0,5
0,5

II.1a) On désigne par φ le déphasage entre deux points distants de d , appartenant à deux miroirs successifs $\varphi = \frac{2\pi}{\lambda} d (\sin i')_{\text{extinct}}$

$$A = A_1^{\text{diff}} \left[1 + e^{j\varphi} + \dots + e^{j(N-1)\varphi} \right]$$



$$A = \sum_{p=1}^N A_1^{\text{diff}} e^{j(p-1)\varphi}$$

$$= A_1^{\text{diff}} \frac{1 - e^{jN\varphi}}{1 - e^{j\varphi}}$$

où A_1^{diff} est l'amplitude complexe diffractée par le 1^{er} miroir. (Origine des phases prise au niv. du 1^{er} miroir)

$$= A_1^{\text{diff}} e^{j\frac{(N-1)\varphi}{2}} \left(\frac{\sin \frac{N\varphi}{2}}{\sin \frac{\varphi}{2}} \right)$$

$$A = \alpha s_0 l a \operatorname{sinc} \left(\frac{\pi a}{\lambda} \sin i' \right) e^{j \frac{(N-1)\varphi}{2}} \frac{\sin \frac{N\varphi}{2}}{\sin \frac{\varphi}{2}}$$

$$I = \alpha s_0^2 (l a)^2 \operatorname{sinc}^2 \left(\frac{\pi a}{\lambda} \sin i' \right) \left(\frac{\sin \frac{N\varphi}{2}}{\sin \frac{\varphi}{2}} \right)^2$$

$$= I_0 N^2 \operatorname{sinc}^2 \left(\frac{\pi a u}{\lambda} \right) \left(\frac{\sin \frac{N\varphi}{2}}{N \sin \frac{\varphi}{2}} \right)^2$$

$$= I_{0R} \operatorname{sinc}^2 \left(\frac{\pi a u}{\lambda} \right) \left(\frac{\sin \frac{N\varphi}{2}}{N \sin \frac{\varphi}{2}} \right)^2$$

1,5

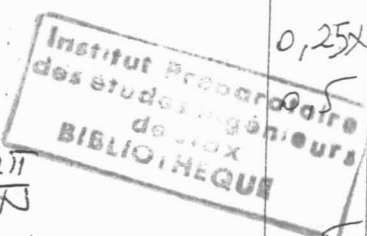
II.1b)

$$\text{D'où } I_R = I_{0R} \sin^2(\pi a u) \left(\frac{\sin \frac{N\varphi}{2}}{N \sin \frac{\varphi}{2}} \right); \varphi = 2\pi d \cdot u$$

$$u = \frac{\sin i'}{\lambda}; I_{0R} = N^2 I_0$$

0,5

0,25x2



$$\text{II.1.c)} \quad \varphi = 2q\pi \Rightarrow d \sin i' = q \lambda_0$$

$$\text{II.1.d)} \quad d\varphi = 2\pi/N \Rightarrow \frac{2\pi}{\lambda} d \cos i' \Delta i' = \frac{2\pi}{N}$$

$$\text{Ainsi } \Delta i' = \frac{\lambda_0}{Nd \cos i'} = \frac{\lambda_0}{L \cos i'}$$

0,5

$$\text{II.2.a)} \quad \text{On a } d \sin i'_q = q \lambda \quad (1)$$

la différentiation de (1) à q fixe donne

$$d \cos i'_q \frac{di'_q}{dq} = q \partial \lambda$$

$$\rightarrow \Delta i'_q = \frac{q \Delta \lambda}{d \cos i'_q}$$

0,5

$$\text{II.2.b)} \quad \text{A la limite de résolution } \Delta i'_q = \Delta i'$$

$$\Rightarrow \Delta \lambda_{\min} = \frac{\lambda d}{Ndq} = \frac{\lambda}{Nq}$$

$$\text{Pour } q = 1 \quad \Delta \lambda_{\min} = 577 \times 10^{-3} \text{ nm}$$

1

or $\Delta \lambda = 2,1 \text{ nm} > \Delta \lambda_{\min} \Rightarrow$ les longueurs d'ondes du doublet de Mercure sont séparées à l'ordre 1.